

2次勵磁起電力에 依한 誘導電動機의 特性

論文

(Characteristics of Induction Motor by

Changing the Second Exciting E.M.F.)

黃 媚 文*
(Hwang Yung Moon)

ABSTRACT

It is well known that the speed of induction motor can be controlled in wide range by changing the second exciting e.m.f. of rotor circuit, but that is well not practised because of its complicated system.

In order to simplify such a system, the Krämer system of which silicon rectifier substitutes for synchronous converter has analyzed in this paper.

The result of this investigation show that in this system, only the equivalent synchronous speed it changed by second exciting *e.m.f.*, but the mechanical output power, torque and power factor is not changed, and that this system is able to compensate the regulated speed on account of the load changed.

1. 緒論

誘導電動機의 速度制御方法으로는 2次回路抵抗插入法, 電源周波數에 의한 方法, 極數變換에 의한 方法과 2次勵磁起電力의 變化에 의한 方法等이 있다. 2次回路抵抗插入法과 極數變化에 의한 方法은 僨限된 速度制限밖에 할 수 없으며, 電源周波數에 의한 方法은 아직 實用化되지 못하였으며, 이것은 또한 負荷에 의한 速度變動率이 一定치 못하다. 여기서 論하고자 하는 2次勵磁起電力에 의한 方法은 速度制御가 광범위하게 행하여지고, 負荷特性도 또한 良好하나 附帶裝置가 特殊器를 포함하고 있어 그 利用度가 높지 못하다.

筆者는 이중 synchronous converter 와 D.C machine 를 사용한 2 次勵磁에 의한 定出力型 Krämer System 에서, Synchronous converter 대신, silicon rectifier 의 三相全波回路를 사용한 定出力電動機機構에 대한 理論的考察과 實

驗的結果를 記述하여 이의 利用範圍 및 利用度를 넓히고자 한다.

2. 2 次勵磁起電力에 依한 卷線型誘導電動機의 理論的特性

Induction motor 의 2 次回路에 抵抗을 삽입함으로서 制限된 速度制御를 하는 경우에서는 동시에 機械的出力 및 Torque 의 低減을 초래하는데, 이것은 2 次插入抵抗에 의한 热的損失에 起因하는 것으로, 이 热的損失은 速度變化에 무관계하다. 즉 速度變化는 2 次回路抵抗에 $sf[c/s]$

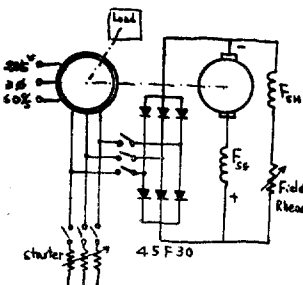


그림 1. Induction motor 의 2 次勵磁에
의한 速率制御方式

인 電流가 흐르고, 이 電流에 의하여 2次抵抗端子에 $s f$
 $[c/s]$ 인 電壓降下가 생기면, 이 反對方向의 電壓에 대행
 하여 所要 Torque에 필요한 2次電流를 흘리고자 더 큰
 起電力이 요구되고, 이 요구를 만족하기 위하여 slip의
 증가를 가져와서 速度變化를 갖게 되는 것으로, 速度變化의
 必要要件은 2次抵抗의 增減이 아니고, 反對方向의
 電壓의 增減이다.

A. 2 次勵磁方式及條件

本研究에서는 그림 1과 같이 Induction motor 와 D.C machine 을 기계적으로 결합하여, Induction motor 의 Rotor 토 부터의 機械的出力を, 동시에 여기서 나오는 電氣的出力を D.C machine에 의하여 변환시킨 機械的出力を 합쳐, 一定機械的出力を 갖게 한 system에 관하여, 그 특성을 分析함에 있어, 다음과 같은 2次勵磁條件을 갖게 하였다.

*釜山大學校 工科大學 電氣工學科 助教授；正會員

Dept. of Electrical Eng.

College of Engineering,

Pusan National University

(i) Induction motor 의 2 次回路를 Silicon rectifier 의 全波整流回路에 연결하여 2 次電流를 이 整流回路를 통하여 D.C machine 的 Amateur winding 에 흐르게 하고, 이 電流를 D.C machine 的 誘起起電力에 의하여 역제 되도록 하였다. 그리하여 항상 2 次回路誘起起電力과 같은 周波數의 2 次勵磁起電力を 가한 効果를 갖게 한다.

(ii) D.C machine에 의하여, Induction motor 의 2 次回路에 가한 2 次勵磁相電壓 \dot{E}_{20} 은 全波整流回路의 特性에서 2 次相電流 I_2 와 항상 180° 의 位相(또는 同相)을 갖고 $\dot{E}_{20} = \sqrt{\frac{2}{3}} E_a$ 인 크기를 갖는다.

(iii) 위 조건이 만족할때, 동일한 機械的出力에서는 2 次相電壓과 2 次相電流와의 位相角 φ_2 가 항상 일정한 값을 갖는다.(그림 3 참조)

B. 2次勵磁된 Induction motor 의 Torque 特性

A 와 같은 2 次勵磁條件에서, Induction motor 만의 特性은 定 Torque 特性를 갖는다. 즉 Induction motor 的 Torque 는 2 次入力 P_2 에 비례하고, P_2 는 \dot{E}_2 와 I_2 와의 位相의 電力으로 그림 2에서, 즉 Induction motor 的 2 次에 대한 Vector diagram에서 다음과 같은 식이 주어진다.

$$P_2 = \dot{E}_2 I_2 \cos \varphi_2 \quad \dots \dots \dots (1)$$

\dot{E}_2 는 磁束 Φ 에 비례하므로, Φ 와 I_2 사이의 位相角 θ 라고 하고 k 를 定數로 하면 Torque T 는

$$T = k \Phi I_2 \sin \theta \quad \dots \dots \dots (2)$$

라 놓을 수 있다.

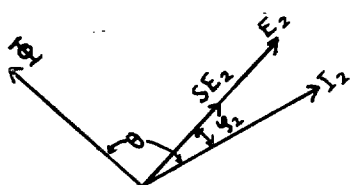


그림 2 2次回路의 Vector 線圖

一定電源電壓에 대하여서는 Φ 는 거에 一定함으로 I_2 의 크기와 位相을 一定하게 하면 Torque 는 一定하게 되다.

2次電流 I_2 는

$$I_2 = \frac{S\dot{E}_2}{\gamma_2 + jx_2} = \frac{\dot{E}_2}{\gamma_2 + jx_2} \quad \dots \dots \dots (3)$$

로 지어지나, 2次勵磁를 행하여 \dot{E}_{20} 인 起電力を 가하여도 電流 I_2 는 一定하고, 다만 slip 가 S에서 S'로 변하였다고 하면 Torque는 一定하며, 이때 다음과 같은 式이 성립한다.

$$I_2 = \frac{S'E_2 - \dot{E}_{20}}{\gamma_2 + jS'x_2} = \frac{\dot{E}_2 - \dot{E}_{20}/S'}{\gamma_2 + jx_2} \quad \dots \dots \dots (4)$$

式 3과 式 4를 같게 놓고, 분자는 분자끼리, 분모는 분모끼리 뺄셈을 하면,

$$I_2 = \frac{\dot{E}_2}{\gamma_2 + jx_2} = \frac{\dot{E}_2 - \dot{E}_{20}/S'}{\gamma_2 + jx_2} \quad \dots \dots \dots (5)$$

$$= \frac{\dot{E}_{20}/S'}{\gamma_2 \left(\frac{1}{S} - \frac{1}{S'} \right)} = \frac{\dot{E}_{20}}{\gamma_2 \left(\frac{S-S'}{S} \right)} \quad \dots \dots \dots (6)$$

$$\therefore \dot{E}_{20} = \left(\frac{S-S'}{S} \right) I_2 \gamma_2 \quad \dots \dots \dots (6)$$

즉 I_2 에 의한 2次抵抗電壓降下 $I_2 \gamma_2$ 와 同位相으로 크기가 그것의 $\frac{S'-S}{S}$ 倍, 周波數 S'/f (本 System에서는 2次回路에 S'/f 인 周波數의 電壓이 가하여진것과 같은 速度를 언제나 갖는다)인 電壓을 2次勵磁시키면, Torque는 不變하여 速度만 變化하게 된다.

本 System에서는 $\dot{E}_{20} I_2$ 만큼의 電力은 D.C machine을 통하여 機械的出力으로 負荷에 공급하고 있는데, 이는 Induction motor 가 一定 Torque로 slip 가 S에서 S'로 변하였을 때의 機械的出力의 變화와 뜻 같은 값에 해당한다. 즉

$$P_k - P_{k0} = \omega_s T(1-S) - \omega_s T(1-S_0)$$

$$= \omega_s T(S'-S)$$

$$\dot{E}_{20} I_2 = \left(\frac{S'-S}{S} \right) I_2 \gamma_2 = \left(\frac{S'-S}{S} \right) \cdot S P_2 \\ = P_2(S'-S) = \omega_s T(S'-S)$$

$$\therefore P_k - P_{k0} = \dot{E}_{20} I_2 \quad \dots \dots \dots (7)$$

式 7은 Induction motor 의 slip 가 S에서 S'로 변화하여, 一定한 Torque를 갖는 機械的出力만을 負荷에 공급하고, 나머지 一定機械的出力에 부족한 出力은 2次回路에서 電氣的出力으로 D.C machine에 공급하여, 여기서 이를 機械的出力으로 變換시켜 負荷에 공급하므로써 一定機械的出力を 갖게 하므로, 速度는 Induction motor 的 定 Torque 特性에 따른다.

그림 3-(a)는 $S'-S>0$ 로 $I_2 \gamma_2$ 와 逆方向의 \dot{E}_{20} 를 가하였을 때의 Vector diagram 인데, 여기서는 $S'>S$ 로 速度가 떨어지고, 그림 3-(b)는 $S'-S<0$ 로 $I_2 \gamma_2$ 와 同方向으로 $I_2 \gamma_2$ 보다 크기와 적은 \dot{E}_{20} 를 가하면, $S>S'$ 로 速度가 올라가는 경우이다, 그림 3-(c)는 $S'<0$, $\frac{S'-S}{S}<1$ 로서 $I_2 \gamma_2$ 와 同方向으로 크기와 $I_2 \gamma_2$ 보다 큰 \dot{E}_{20} 를 가하였을 때인데, 이때는 同期速度(N_s) 以上의 速度가 된다.

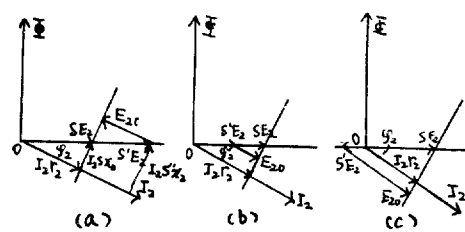


그림 3 2次勵磁時의 Vector 線圖

c. 2 次勵磁時의 等價回路

지금 2 次勵磁起電力を 가한 경우 Induction motor 의 等價回路는 다음과 같다.

그림 4 의 等價回路는 電流重疊의 原理에 의하여 그림 5 와 같이 두부문의 簡易等價回路로 나눌 수 있다.

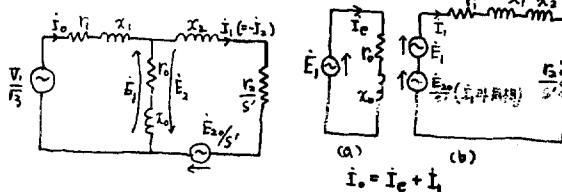


그림 4 2次勵磁를 한
Induction motor의
相의 等價回路

그림 5-(b)에서 1次負荷相電流 I_1는

$$I_1 = \frac{E_1 + E_{20}/S'}{(r_1 + \frac{r_2}{S'}) + j(x_1 + x_2)} \quad \dots \dots \dots (8)$$

E_{20} 은 I_{10} 와 同様으로, 式 6에서

$$E_{20} = \left(\frac{S' - S}{S} \right) I_2 \gamma_2 = - \left(\frac{S' - S}{S} \right) i_1 \gamma_2$$

이므로 이를 式 8에 대입하여

$$I_1 \left[(r_1 + \frac{\gamma_2}{S'} + \frac{1}{S'} \left(\frac{S' - S}{S} \right) \gamma_2) + j(x_1 + x_2) \right] = E_1 \\ I_1 = \frac{E_1}{(r_1 + \frac{\gamma_2}{S}) + j(x_1 + x_2)} \quad \dots \dots \dots (9)$$

즉, 式 9는 2次勵磁을 행하여 slip 가 S에서 S'로 변하였는데도 그 等價式에서는, 1次負荷電流와 slip 가 2次勵磁를 하지 않을 때의 1次電流 및 Slip 와 같은 값을 갖는데, 이것은 同期角速度가 $\omega_s = \frac{\omega'}{(1-S')}$ 에서 2次勵磁時의 새로운 同期角度 $\omega_{so} = \frac{\omega'}{(1-S)}$ 로 變換되었음을 의미한다. 즉 等價回路는 그림 6과 같이 變換된다.

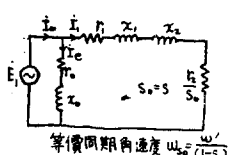


그림 6 2次勵磁時의 變換算價回路

D. 等價同期速度 ($S_0=0$)의 變換

機械的動力이 零이고, Torque 가 零인 速度에 해당하는 等價同期速度點의 移動에 대하여는 이미 설명하였거나, 이때 負荷變化에 따른 slip 的 값 S_0 는 2次勵磁를 하지 않을 때의 負荷變化時의 同期角速度 ω_s 에 대한 slip S와 一致한다. 이 점은 다른 方式에 의한 Induction

motor 의 速度制御에서는 볼 수 없는 長點의 하나이다.

지금 2次勵磁起電力 E_{20} 와 等價同期角速度 ω_{so} 와의 關係式을 구하여 보면 다음과 같다.

그림 3-(a)의 Vector diagram에서

$$E_{20} + I_2 \gamma_2 = S'E_2 - \frac{\gamma_2}{\sqrt{\gamma_2^2 + S^2 x_2^2}} \quad \dots \dots \dots (10)$$

I_2 에 관하여 整理하고, 定Torque 時, 2次勵磁를 가지 않을 때의 値을 대입하면,

$$I_2 = \frac{S'E_2}{\sqrt{\gamma_2^2 + S^2 x_2^2}} - \frac{E_{20}}{\gamma_2} = \frac{SE_2}{\sqrt{\gamma_2^2 + S^2 x_2^2}}$$

整理하여,

$$-SE_2 = -S'E_2 + \frac{E_{20}}{\gamma_2} \sqrt{\gamma_2^2 + S^2 x_2^2} \quad \dots \dots \dots (11)$$

式 11의 양변에 E_2 를 加하여

$$S_2(1-S) = E_2(1-S') + \frac{E_{20}}{\gamma_2} \sqrt{\gamma_2^2 + S^2 x_2^2} \quad \dots \dots \dots (12)$$

그런데, $\omega_{so} = \frac{\omega'}{(1-S)} = \frac{\omega'}{(1-S_0)}$, $\omega_s = \frac{\omega'}{(1-S')}$ 이므로

$$\frac{\omega_{so}}{\omega_s} = \frac{(1-S')}{(1-S)} \quad \dots \dots \dots (13)$$

式 12에 式 13의 $(1-S')$ 의 値을 대입하여 整理하면

$$1 - \frac{\omega_{so}}{\omega_s} = \frac{E_{20}}{E_2} \frac{\sqrt{\gamma_2^2 + S^2 x_2^2}}{\gamma_2(1-S)} \quad \dots \dots \dots (14)$$

式 14는 Slip 가 S 및 S_0 인 値은 定出力때의 關係式으로, 同期角速度 즉 零出力인 때의 關係式은 $S=0$ 로 하면 된다. 즉

$$1 - \frac{\omega_{so}}{\omega_s} = \frac{E_{20}}{E_2}$$

$$\therefore \omega_{so} = \frac{E_2 - E_{20}}{E_2} \omega_s \quad \dots \dots \dots (15)$$

동시에

$$N_{so} = \frac{E_2 - E_{20}}{E_2} N_s \quad \dots \dots \dots (16)$$

인 關係式을 갖는다.

E. 機械的出力 R_{k0} 와 Torque To

Induction motor 內에서 機械的動力으로 變換하는 電力 P_k 는

$$P_k = T\omega = T\omega_s(1-S) \quad \dots \dots \dots (17)$$

$$= m_1 r_2 S(1-S) E_1^2 \\ = (S\gamma_1 + \gamma_2)^2 + S^2(x_1 + x_2)^2 [Watt] \quad \dots \dots \dots (18)$$

이다.

2次勵磁時, Slip 가 S에서 S'로 변화하면, 이때 P_k' 는

$$P_k' = T'\omega' = T'\omega_{so}(1-S_0) \quad \dots \dots \dots (19)$$

로서 式 18과 式 19를 비교하면,

$$\frac{P_k' T}{P_k T'} = \frac{\omega_{so}(1-S_0)}{\omega_s(1-S)} = \frac{\omega_{so}}{\omega_s} (S_0 = S) \quad \dots \dots \dots (20)$$

(i) Induction 亂의 定 Torque 特性에서는

$$\frac{P_k'}{P_k} = \frac{\omega_{so}}{\omega_s}, P_k' = \frac{\omega_{so}}{\omega_s} P_k, (T' = T) \quad \dots \dots \dots (21)$$

(ii) 全 System에서의 定出力特性인 경우

$$\frac{T}{T'} = \frac{\omega_{so}}{\omega_s}, \quad T' = \frac{\omega_s}{\omega_{so}} T, \quad (P_{k'} = P_k) \dots (22)$$

그리므로 2次勵磁時의 全機械的出力 P_{ko} 는

$$P_{ko} = \frac{m_1 \gamma_2 S_0 (1 - S_0) E_1^2}{(S_0 \gamma_1 + \gamma_2)^2 + S_0^2 (x_1 + x_2)^2} [\text{watt}] \dots (23)$$

(iii) 2次勵磁時의 全 Torque T_o 는

$$T_o = \frac{m_1 E_1^2 \gamma_1 S_0}{\omega_s [(S_0 \gamma_1 + \gamma_2)^2 + S_0^2 (x_1 + x_2)^2]} [N \cdot m] \dots (24)$$

F. 2次入力 P_{20} , 2次力率 $\cos \varphi_{20}$, 効率 η_0 ,

Induction motor 만으로, 定 Torque 特性을 갖일때의 速度制御條件, 즉 N_s 에 대 한 Slip S의 값과 N_{so} 에 대 한 slip S_0 의 값이 같을 때는, Induction motor 만의 Torque 를 위한 2次入力 P_2' 는 감소할것이나 D.C machine에 의하여 补償되는 出力도 Induction motor 의 2次回路를 통하여서 變換됨으로, 2次入力 P_{20} 는 같은 S_0 의 값일 때는 항상 일정하다. 즉

$$P_{20} = E_1^2 \frac{m_1 S_0 \gamma_2}{\gamma_2^2 + (S_0 x_2)^2} = \omega_s T_o [\text{watt}] \dots (25)$$

2次力率 $\cos \varphi_2$ 는 φ_2 가 항상 일정하므로, 즉 그림 3에서

$$\begin{aligned} \varphi_2 &= \tan^{-1} \frac{S x_2}{\gamma_2} = \tan^{-1} \frac{I_2 S x_2}{I_2 r_2} \\ &= \tan^{-1} \frac{I_2 S' x_2}{I_2 \gamma_2 + E_{20}} = \tan^{-1} \frac{S_0 x_2}{r_2} \end{aligned}$$

이므로, 속도가 변하여, 2次 reactance 가 변화하여도, $I_2 \gamma_2$ 와 同相인 E_{20} 가 변하였기 때문에, $\frac{E_{20}}{I_2}$ 인 等價抵抗이 변화하여 이를 补償하여 주고 있기 때문이다.

効率 η 는

$$\eta = \frac{\gamma_2 (1 - S_0)}{\gamma_2 + S_0 \gamma_1} [\text{機械的損失을 包含한 値}] \dots (26)$$

로서, 같은 出力에 대하여 항상 일정한 値을 갖는다.

3. 負荷變動에 따른 速度變動의 补償策

2次勵磁起電力에 의하여, 等價同期速度가 变화함은 이미 설명한바와 같이, 負荷變動에 따른 速度變動, 즉 Slip 的 变化는 어쩔수 없다. 그러나 負荷電流의 变化에 따른 D.C machine의 差動特性에 의하여 2次勵磁起電力を 变化시킬수 있으므로, 이러한 方法으로 等價同期速度를 变化시키면, 負荷變動時의 速度變化를 补償할 수 있게 된다. 즉

$$S_0(I_2) \cdot \omega_{so}(I_2) = \Delta \omega_{so}(I_2) \dots (27)$$

란 關係式이 성립하는 2次勵磁起電力의 变化 ΔE_{20} 를 갖게 하면 될것이다.

式 27 은 式 3의 變型과 式 15에서

$$\frac{I_2 \gamma_2}{\sqrt{E_2^2 - I_2^2 x_2^2}} \left[1 - \frac{E_{20}(I_2)}{E_2} \right] \omega_s = - \frac{\omega_s}{E_2} \Delta E_{20}$$

$$\therefore \Delta E_{20} = - \left[1 - \frac{E_{20}(I_2)}{E_2} \right] I_2 \gamma_2 \dots (28)$$

그런데, $E_{20}(I_2) = [E_{20}(I_2)]_{I_2=0} - \Delta E_{20}$ 이므로

$$\begin{aligned} \Delta E_{20} &= - \left[1 - \frac{[E_{20}(I_2)]_{I_2=0}}{E_2} \right] I_2 \gamma_2 - \frac{\Delta E_{20}}{E_2} I_2 \gamma_2 \\ &= - \left[\frac{\omega_{so}}{\omega_s} \right]_{I_2=0} \cdot I_2 \gamma_2 - \frac{\Delta E_{20}}{E_2} I_2 \gamma_2 \end{aligned}$$

整理하여

$$\begin{aligned} \Delta E_{20} &= - \frac{\left[\frac{\omega_{so}}{\omega_s} \right]_{I_2=0} E_2 I_2 \gamma_2}{E_2 + I_2 \gamma_2}, \quad E_2 \gg I_2 \gamma_2 \\ &\equiv - \left[\frac{\omega_{so}}{\omega_s} \right]_{I_2=0} \cdot I_2 \gamma_2 \dots (29) \end{aligned}$$

여기서 $\left[\frac{\omega_{so}}{\omega_s} \right]_{I_2=0}$ 是 定 2次勵磁時의 等價同期角速度에 해당하는 速度補償定數이다.

(29)식은 D.C generator의 平復卷의 差動特性式과 同一한 表現式으로, 2次勵磁起電力を D.C differential compound machine에 의할것 같으면, 負荷變動時에도任意의 一定速度에서 安定動作를 하게 된다.

4. 實驗測定值와 結果

A. 被試驗機器의 定格

(i) 3φ. Wound type induction motor.....日本昭和電機co.,製

| | |
|--------------------------|-----------------|
| Output : 2.2 KW | Pole : 4 |
| Voltage : 200 V | Current : 9.5 A |
| Frequency : 60 C/S | R.P.M : 1680 |
| Secondary voltage : 73 V | |
| 定數(實測值) | |

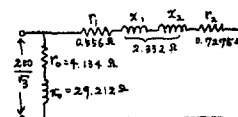


그림 7 規定試驗에 의한 實測等價回路

$$P_{km} = 4.5[\text{kw}] (204.5[\%]), \quad S_{pkm} = 24.0[\%]$$

$$T_m = 33.9[\text{N} \cdot \text{m}] (256.0[\%]), \quad S_{tm} = 36.5[\%]$$

(ii) D.C machine.....日本昭和電機Co.,製

| | |
|-------------------------------------|-----------------------|
| Output : 2 KW | Excit : Compound |
| Voltage: : 100 V | Current : 20 A |
| R.P.M : 1800 | Amateur Res. : 0.213Ω |
| (iii) Silicon Rectifier.....45 F 30 | |

| | |
|--------------------|----------------------|
| D.C current : 45 A | A.C voltage : 72 V |
| P.I.V : 300 V | Max. current : 150 A |

B. 實驗結果

實測을 위한 實驗은 D.C machine의 Amateur抵抗의 Induction motor의 2次回路에 積入된 상태에서 行하였는데, 1相等價插入抵抗 r_a 는

$$r_a = \left(\frac{E_1}{E_2} \right)^2 \times \frac{2}{3} R_a = \left(\frac{200}{73} \right)^2 \times \frac{2}{3} \times 0.213 = 1.095 \Omega$$

(i) 等價同期速度 N_{so} 的 移動

表 1

2 次勵磁起電力 E_{20} 와 等價同期速度 N_{so}

| | | | | | | | | |
|------------------|-----|-------|-------|-------|-------|-------|-------|-----------|
| E_a (實測值) | 0 | 9.0 | 18.0 | 26.0 | 34.6 | 43.5 | 51.5 | 60.5 [V] |
| E_{20} (等價1次值) | 0 | 11.52 | 23.03 | 33.28 | 44.43 | 55.68 | 65.92 | 77.44 [V] |
| N_{so} | 實測側 | 1800 | 1620 | 1445 | 1290 | 1120 | 950 | 790 |
| | 理論值 | 1800 | 1624 | 1448 | 1292 | 1122 | 951 | 795 |

$$(理論值) : E_{20} = N \times \sqrt{\frac{2}{3}} E_a \approx 1.28 E_a [V]$$

$$E_2 = \frac{V_1}{\sqrt{3}} = \frac{205}{\sqrt{3}} \approx 118 [V]$$

$$N_{so} = \frac{E_2 - E_{20}}{E_2} N_s [r.p.m]$$

지금 2次勵磁起電力 E_{20} 를 변화시켜 等價同期速度 N_{so} 의 값을 구하면 다음과 같다. 實測值는 그림 9에서 理論值는 式 16에서 구한 값이다.

檢討 1 E_{20} 와 N_{so} 사이의 實測值와 理論值가 일치한다. 이는 式 16의 誘導式이 正當하며, 等價同期速度가 2次勵磁起電力에 의하여 移動함을 뒷받침하고 있다.

(ii) 一定出力時, 2次勵磁等價 Slip S_o 的 同一性

表 2

2 次勵磁起電力 $E_{20}=0$ 때의 諸特性

$$N_s=1800 [r.p.m]$$

| V ₁ [V] | I _o [A] | 3P ₁ [W] | P.f ₁ [%] | 3P ₂ [W] | 3P _k [W] | 3T _o [N-m] | 定 勵 磁 時 | | 差 勵 磁 時 | | η [%] | I _a [A] |
|-----------------------|-----------------------|------------------------|-------------------------|------------------------|------------------------|--------------------------|-------------------------|----------------|-------------------------|----------------|---------------|-----------------------|
| | | | | | | | N _o r.p.m | Slip [%] | N _o r.p.m | Slip [%] | | |
| | | | | | | | S _o | S _o | S _o | S _o | | |
| 205 | 4.01 | 556 | 39 | 393 | 281 | 1.53 | 1746 | 3.0 | 1780 | 1.2 | 31.4 | 3.9 |
| // | 4.51 | 802 | 50 | 589 | 550 | 3.14 | 1670 | 7.2 | 1752 | 2.7 | 55.6 | 7.1 |
| // | 4.73 | 1000 | 60 | 782 | 720 | 4.20 | 1633 | 9.3 | 1730 | 3.9 | 61.6 | 9.6 |
| // | 5.30 | 1265 | 67 | 1034 | 924 | 5.67 | 1553 | 13.7 | 1675 | 7.0 | 65.1 | 12.6 |
| // | 5.92 | 1550 | 74 | 1305 | 1121 | 7.29 | 1520 | 15.5 | 1655 | 8.1 | 66.5 | 16.5 |
| // | 6.80 | 1810 | 75 | 1554 | 1420 | 9.34 | 1450 | 19.4 | 1610 | 10.1 | 72.7 | 22.3 |

表 3

2 次勵磁起電力 $E_{20}=33.28$ [v], $E_a=26$ [v] 때의 諸特性

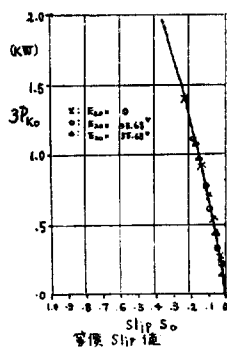
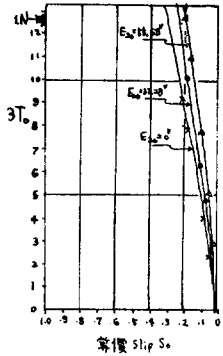
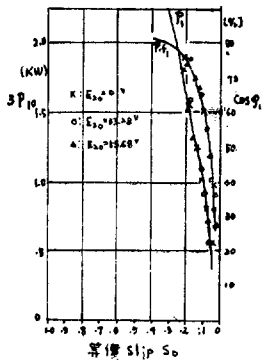
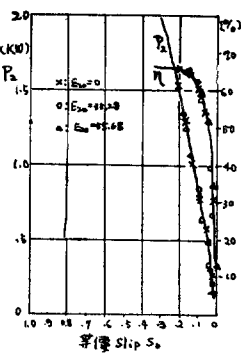
$$N_{so}=1290 [r.p.m]$$

| V ₁ [V] | I _o [A] | 3P ₁ [W] | P.f ₁ [%] | 3P ₂ [W] | 3P _k [W] | 3T _o [N-m] | 定 勵 磁 時 | | 差 勵 磁 時 | | η [%] | I _a [A] |
|-----------------------|-----------------------|------------------------|-------------------------|------------------------|------------------------|--------------------------|---------------------------|----------------|---------------------------|----------------|---------------|-----------------------|
| | | | | | | | N _o (r.p.m) | Slip [%] | N _o (r.p.m) | Slip [%] | | |
| | | | | | | | S' | S _o | S' | S _o | | |
| 205 | 3.93 | 440 | 32 | 235 | 226 | 1.74 | 1240 | 32.0 | 3.9 | 1270 | 29.5 | 1.6 |
| // | 4.10 | 560 | 40 | 352 | 328 | 2.59 | 1210 | 32.5 | 6.2 | 1244 | 31.0 | 3.6 |
| // | 4.60 | 880 | 55 | 665 | 617 | 4.98 | 1182 | 35.0 | 8.4 | 1243 | 31.0 | 3.6 |
| // | 4.75 | 1080 | 67 | 862 | 784 | 6.53 | 1145 | 37.2 | 11.3 | 1218 | 32.4 | 5.6 |
| // | 6.01 | 1580 | 76 | 1340 | 1138 | 10.33 | 1050 | 42.2 | 18.6 | 1150 | 36.2 | 10.9 |

表 4

2次勵磁起電力 $E_{20}=55.68[V]$, $E_d=43.5[V]$ 때의 諸特性 $N_{so}=950[r.p.m.]$

| V ₁ | I _d | 3P ₁ | P.f ₁ | 3P ₂ | 3P _k | 3T ₀ | 定 勵 磁 時 | | 差 勵 磁 時 | | η | I _a | | |
|----------------|----------------|-----------------|------------------|-----------------|-----------------|-----------------|----------------|----------|----------------|----------|--------|----------------|------|------|
| | | | | | | | N _o | Slip [%] | N _o | Slip [%] | | | | |
| | | | | | | | | | | | | | | |
| [V] | [A] | [W] | [%] | [W] | [W] | [N·m] | (r.p.m.) | S' | S _o | (r.p.m.) | S' | S _o | | |
| 205 | 3.83 | 360 | 27 | 156 | 152 | 1.56 | 930 | 49.0 | 2.1 | 948 | 47.4 | 0.2 | 13.3 | 2.4 |
| // | 4.02 | 510 | 36 | 303 | 291 | 3.02 | 920 | 49.6 | 3.2 | 946 | 47.5 | 0.5 | 36.7 | 4.0 |
| // | 4.45 | 730 | 47 | 517 | 487 | 5.22 | 890 | 51.0 | 6.3 | 931 | 48.5 | 2.1 | 52.5 | 6.4 |
| // | 4.72 | 1000 | 61 | 783 | 721 | 8.09 | 850 | 53.3 | 10.5 | 902 | 49.9 | 5.1 | 61.7 | 9.4 |
| // | 5.45 | 1300 | 69 | 1071 | 953 | 11.36 | 800 | 56.0 | 15.8 | 863 | 52.1 | 9.2 | 65.3 | 13.0 |
| // | 5.90 | 1520 | 74 | 1283 | 1096 | 13.48 | 770 | 57.5 | 18.4 | 848 | 52.9 | 10.8 | 65.3 | 16.1 |

그림 8(a) P_{k0} - S_o 特性曲線
(機械的出力)그림 8(b) T_0 - S_o 特性曲線
(Torque)그림 8(c) P_{10}, P_f - S_o 特性曲線
(1次入力 및 1次力)그림 8(d) P_{20} , η - S_o 特性曲線
(2次入力 및 効率)

檢討 2 2次勵磁에 의한 速度變化時 동일한 全機械出力 $3P_{k0}$ 에서 等價 Slip S_o 의 값이 동일함을 보이고 있다. 그러나 이때 Torque T_0 는 N_s/N_{so} 倍만큼 증가함을 보여 주는데, 이는 이 增加分이 D.C machine에 의한 機械的出力(E_{d0})으로 인한 Torque에 해당한다.

檢討 3 Induction motor의 單獨運轉時보다 1次力率, 效率 η 가 감소한 것은, D.C machine의 Amateur抵抗損

失과 그 機械損에 인한 것으로, 2次勵磁起電力이 변화된 때는 同一機械的出力에 대하여 거의 일정한 值을 갖는다.

(iii) 可變負荷時의 定速度運轉特性

負荷(機械的出力 및 Torque)가 변화하면 필연적으로 Slip의 變化를 갖어온다. 그러나 이러한 Slip은 2次勵磁起電力を 변화시켜도 변화됨은 이미 설명한 바이다. 특히 本 System에서는 電機子抵抗이 2次插入抵抗으로 작용하며, 그 값이 대단히 커서 速度變動率이 큰 것이 缺點이나, 이를 다음과 같이 補償할 수 있다. 즉 負荷變動에 따른 Slip의 變化分을 2次勵磁起電力의 變動으로서 補償시키는 方法으로 2次勵磁用 D.C. machine의 差動復卷特性을 이용하여 보면 그림 9와 같이 速度改善이 이루어 진다.

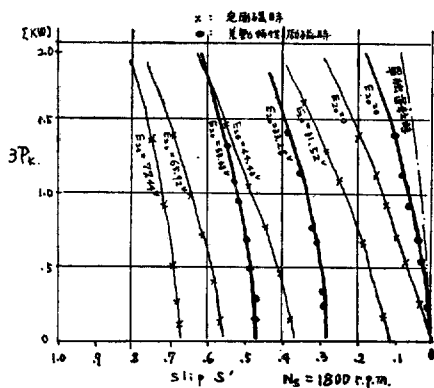


그림 9 本 System의 負荷速度特性曲線

檢討 4 그림 9에 보면 2次勵磁에는, Induction motor의 單獨運轉時보다 負荷速度特性이 나쁜데, 이는 2次勵磁를 위하여 D.C machine의 Amateur winding이 Induction motor의 2次回路에 插入되기 때문인데, 이는 불가피한 것으로, 이를 보상하기 위하여, D.C machine의 差動特性을 이용하였으니 상당히 改善되었다.

表 5

差動特性에 의한 速度補償分 $\Delta\omega_{so}$

| | I_a | 1 | 3 | 5 | 7 | 9 | 11 | 13 | 15 | 17 |
|---------------|-----------------|------|------|------|------|------|-------|-------|-------|-------|
| | I_2 | 0.7 | 2.1 | 3.5 | 5.0 | 6.4 | 7.8 | 9.2 | 10.6 | 12.0 |
| $N_{so}=1750$ | ΔE_{20} | 1.02 | 2.56 | 3.84 | 5.12 | 6.14 | 6.66 | 7.55 | 8.32 | 8.96 |
| | ΔN_{so} | 15.5 | 39.0 | 58.6 | 78.1 | 93.7 | 101.6 | 115.2 | 126.9 | 136.7 |
| $N_{so}=1290$ | ΔE_{20} | 0.77 | 1.92 | 2.82 | 3.71 | 4.48 | 4.86 | 5.50 | 6.02 | 6.53 |
| | ΔN_{so} | 11.7 | 29.3 | 43.0 | 56.6 | 68.3 | 74.1 | 83.9 | 91.8 | 99.6 |
| $N_{so}=950$ | ΔE_{20} | 0.51 | 1.41 | 2.05 | 2.82 | 3.33 | 3.58 | 4.10 | 4.61 | 4.86 |
| | ΔN_{so} | 7.8 | 21.5 | 31.3 | 43.0 | 50.8 | 54.6 | 62.5 | 70.3 | 74.1 |

5. 結 論

A. 本實驗에서 사용한 速度制御方式은 D.C machine의 적은 勵磁電流을 調節함으로서 定出力 및 定 Torque의 速度制御를 廣範圍하게 할 수 있으며, 2次回路抵抗插入 및 可變周波數에 의한 速度制御式方에서는 負荷에 따른 速度變動率이 큰것에 비하여, 이 方式은 적은 變動率로서 安定한 運轉을 할 수 있다.

B. 2次勵磁에 의하면, 다만 等價同期速度만이 變화하며, 機械의 出力, Torque 및 力率은 變化하지 않는 特性을 갖어, 可變速度誘導電動機로서, 任意速度에서도 安定한 動作을 할 수 있음을 알 수 있다.

C. 補助機로서 D.C differential compound machine을 사용하면, 負荷變動에 따른 速度變化를 補償할 수 있다.

끝으로 本 實驗研究가 良質의 大容量整流器의 開發에 따라, 이를 이용한 새로운 速度制御方式의 特性을 分析, 考察한 것으로, 이 結果가 이 方面의 速度制御方式의 改善과 考察에 參考가 되면 多幸으로 생각하는 바이다.

記號 說明

V_1 : 定格端子電壓

I_0 : 1次 1相全電流

E_1 : 1次 1相誘起起電力

E_2 : 2次 1相誘導起電力(靜止時, 等價, 1次值)

I_1 : 1次 1相負荷電流

I_2 : 2次 1相負荷電流(等價 1次值). $\frac{I_a}{\sqrt{2}n}$

E_{20} : 2次勵磁起電力(等價 1次值), $\frac{\sqrt{2}}{3}nE_a$

$Z_0 = r_0 + jx_0$: 1次 1相勵磁 Impedance

$Z_1 = r_1 + jx_1$: 1次 1相 Impedance.

$Z_2 = r_2 + jx_2$: 2次 1相 Impedance(等價 1次值)

P_1 : 1次 1相入力

P_2 : 2次 1相入力

P_{20} : 2次勵磁時의 2次 1相入力

P_k : 機械的出力(1相值)

P_{ko} : 2次勵磁時의 機械的出力(1相值)

T : 1相 Torque

T_0 : 2次勵磁時의 Torque

$N_s, (\omega_s)$: 同期(角)速度

$N_{so}, (\omega_{so})$: 2次勵磁時의 等價同期(角)速度

$N(\omega)$: 任意負荷時의 (角)速度

$N'(\omega')$: 2次勵磁時, 定格周波에 대한 任意負荷時의 (角)速度

S : 無負荷時의 N_s 에 대한 Slip

S' : 2次勵磁時의 N_s 에 대한 Slip

S_s : 2次勵磁時의 N_{so} 에 대한 Slip

E_a : 直流機의 電機子電壓

I_a : 直流機의 電機子電流

n : 誘導機의 1次, 2次卷線比

參 考 文 獻

1. 石山龍雄・井上 等 誘導機(修教社)
2. 日本電氣學會 誘導機(電氣機械工學Ⅲ)
3. 尾本義一 電動機應用 Hand Book
4. 朴 晏 鎬 誘導機器(東明社)

(1966年 6月 15日 接受)